

ЦЕПИ СВЧ С ЗАДАНЫМИ ФАЗОВЫМИ ХАРАКТЕРИСТИКАМИ

Г. Э. БУРУНСУЗЯН

На основе математического аппарата скобок Гринберга предлагается методика синтеза СВЧ цепей, обладающих заданными фазо-частотными характеристиками определенного типа.

В работах [1, 2] приведены математическое обоснование и методика синтеза цепей с заданными фазо-частотными характеристиками передаточных функций. В основу синтеза цепей СВЧ можно положить информацию, содержащуюся в табл. 1 работы [2].

Если использовать свойство скобок Гринберга $\{h, k\} = \{k, h\}$ (см., например, [3]) и принять $R_0 = 1/G_0$, то упомянутую таблицу можно предста-

I		$Z_{2l-1} = \frac{4i-3}{j\varphi G_0}$ $Y_{2l} = \frac{(4i-1)G_0}{j\varphi}$	$K_u \approx K(k)$	$Z_n \approx \frac{1}{G_0} K(k-1)$
II		$Y_{2l-1} = \frac{4i-3}{j\varphi R_0}$ $Z_{2l} = \frac{(4i-1)R_0}{j\varphi}$	$K_i \approx K(k)$	$Y_n \approx \frac{1}{R_0} K(k-1)$
III		$Z_{2l-1} = \frac{4i-3}{j\varphi G_0}$ $Y_{2l} = \frac{(4i-1)G_0}{j\varphi}$	$K_u \approx K(k-1)$	$Z_n \approx \frac{1}{G_0} K(k)$
IV		$Y_{2l-1} = \frac{4i-3}{j\varphi R_0}$ $Z_{2l} = \frac{(4i-1)R_0}{j\varphi}$	$K_i \approx K(k-1)$	$Y_n \approx \frac{1}{R_0} K(k)$

Рис. 1.

вить в виде, показанном на рис. 1. На этом рисунке в соответствии с формулами (7), (8), (15) и (16) работы [2] использованы обозначения

$$K(k) = \begin{cases} \frac{(j\varphi)^k e^{-j\varphi}}{(2k-1)!!} & \left(\varphi < \frac{\pi}{2} \right) \\ \frac{2j\varphi}{k(k+1) + 2j\varphi} & (\varphi \gg k). \end{cases} \quad (1)$$

Под комплексами K_u , K_i , Z_n и Y_n понимаются соответственно коэффициенты передачи напряжения, тока, сопротивление и проводимость передачи. Как показывают выражения (1), лестничные структуры рис. 1 при малых φ обладают режекторными функциями передачи, а при $\varphi \gg k$ они являются пропускающими фильтрами.

Поскольку техника СВЧ позволяет отвлекать и полезно использовать отраженные сигналы, наряду с функциями передачи прикладной ин-

терес представляют также функции отражения. Определим входные сопротивления структур, показанных на рис. 1, для чего используем классические связи

$$Z_{вх.} = \frac{Z_n}{K_U}, \quad Z_{вх.} = \frac{K_I}{Y_n}. \quad (2)$$

С учетом $R_0 = 1/G_0$ получаем значения, приведенные в таблице. Там же указаны значения коэффициентов отражения при равенстве сопротивлений подводящей линии и нагрузки (R_0). Как видим, все четыре выражения $Z_{вх.}$ для структур, приведенных на рис. 1, при малых φ совпадают с сопротивлениями входных элементов этих структур. Это совпадение обусловлено приближенностью выражений для передаточных функций. Как было пока-

Таблица

	$\varphi < \frac{\pi}{2}$	$\varphi \gg k$
I, IV	$Z_{вх.} = R_0 \frac{2k-1}{j\varphi}$ $\Gamma = \frac{(2k-1) - j\varphi}{(2k-1) + j\varphi}$	$Z_{вх.} = R_0 \frac{2j\varphi + k(k+1)}{2j\varphi + k(k-1)}$ $\Gamma = \frac{k}{k^2 + 2j\varphi}$
II, III	$Z_{вх.} = R_0 \frac{j\varphi}{2k-1}$ $\Gamma = \frac{j\varphi - (2k-1)}{j\varphi + (2k-1)}$	$Z_{вх.} = R_0 \frac{2j\varphi + k(k-1)}{2j\varphi + k(k+1)}$ $\Gamma = -\frac{k}{k^2 + 2j\varphi}$

зано в [1], функция φ , определяющая элементы структуры, отличается от φ выражения (1) на малую величину

$$|\Delta\varphi| = \frac{\varphi^{2k-2}}{(2k-3)!!(2k-1)!!} |\operatorname{tg} \varphi - \varphi|. \quad (3)$$

При достаточно большом количестве элементов структуры (большие k) ошибка приближения становится пренебрежимой, а результат $Z_{вх.} = Z_k$ ($Z_{вх.} = 1/Y_k$) — практически точным.

Полученные значения модулей коэффициентов отражения для всех четырех структур есть

$$\Gamma \approx \begin{cases} 0 & (\varphi \rightarrow \infty) \\ 1 & \left(\varphi < \frac{\pi}{2}\right). \end{cases} \quad (4)$$

Одни и те же структуры при больших φ сигнал пропускают, а при малых φ — отражают. Поскольку это свойство одинаково для всех четырех струк-

тур, выбор той или иной структуры должен производиться по соображениям конструктивных удобств.

Цепи с указанными свойствами представляют определенный прикладной интерес. Если на входе цепи включить какой-либо ответвитель отраженного сигнала на соответствующую нагрузку, то будет получен фильтр с двумя нагрузками на концах цепи. По замыслу разработчика определенные сигналы (обуславливающие малые φ) будут направляться в нагрузку у входа цепи, тогда как другие сигналы (обуславливающие большие φ) будут направляться в нагрузку у выхода цепи. Такое разделение сигналов по двум направлениям можно использовать для фильтрации полезного и мешающего сигналов; при этом отражений сигналов обратно в подводящую линию не будет.

Рассмотрим цепь I и сигналы, выделяющиеся на нагрузке у ее входа. Коэффициент отражения для этого случая, согласно данным таблицы, равен

$$\dot{\Gamma} = e^{-j2 \operatorname{arctg} \left(\frac{\varphi}{2k-1} \right)} \left(\varphi < \frac{\pi}{2} \right). \quad (5)$$

Пусть $\theta(\omega)$ — некоторая заданная фазо-частотная характеристика коэффициента отражения:

$$\arg \dot{\Gamma} = -\theta(\omega). \quad (6)$$

Сопоставляя (6) с (5), убеждаемся, что для реализации заданного значения $\arg \dot{\Gamma}$ необходимо обеспечить выполнение условия

$$\varphi(\omega) = (2k-1) \operatorname{tg} \frac{\theta(\omega)}{2}. \quad (7)$$

Как видим, задаваться могут только такие $\theta(\omega)$, которые обеспечивают $\varphi(\omega) < \pi/2$, так как только при малых φ имеет место отражение.

Эта же функция $\varphi(\omega)$ характеризует собой все элементы лестничной структуры цепи. Следовательно, функция $\varphi(\omega)$ должна еще удовлетворять условиям физической реализуемости цепи. Рассмотрим реализацию цепи на отрезках идеальных линий по методике, изложенной в работе [4]. Двухполюсники Z и Y , образующие цепь I, наиболее просто реализуются так называемыми стержневыми структурами коаксиального либо полоскового типа. Согласно результатам указанной работы, двухполюсник всегда может быть физически реализован, если рассматриваемая нами величина φ является реактансной функцией аргумента Ω :

$$\varphi = h\Omega \frac{(\Omega_1^2 - \Omega^2)(\Omega_2^2 - \Omega^2)\dots}{(\Omega_1^2 - \Omega^2)(\Omega_3^2 - \Omega^2)\dots}. \quad (8)$$

Здесь h — произвольная константа, Ω — «частотная» переменная, определенная на конечном интервале угловых частот ($\omega_1 \div \omega_2$):

$$\Omega = \operatorname{tg} \left(\frac{2\omega - \omega_1 - \omega_2}{\omega_2 - \omega_1} \right) \frac{\pi}{2} \quad (\omega_1 < \omega < \omega_2). \quad (9)$$

Среднюю частоту рассматриваемого интервала

$$\omega_0 = \frac{1}{2} (\omega_1 + \omega_2) \quad (10)$$

можно ввести в выражение (9). Обозначив

$$T = \frac{\pi}{\omega_2 - \omega_1}, \quad (11)$$

будем иметь

$$\Omega(\omega) = \operatorname{tg}(\omega - \omega_0) T. \quad (12)$$

Для средней частоты $\Omega(\omega_0) = 0$, и на основании (8) и (7) находим $\theta(\omega_0) = 0$.

Как видим, частота ω_0 является частотой нулевой фазы, и с ней должны согласовываться частоты подводимых сигналов. Величина T , входящая в обозначение (11), имеет конкретный физический смысл. Это есть время пробега сигнала по элементарным отрезкам линий, из которых синтезируется цепь. Оно определяет требуемые длины отрезков. Границы интервала ω_1 и ω_2 , учитываемые в (9)—(11), должны охватывать рабочий участок и удовлетворять при этом условию

$$\frac{\omega_2 + \omega_1}{\omega_2 - \omega_1} = 4P, \quad (13)$$

в котором P — произвольное целое число, весьма большое для СВЧ диапазона.

Сопоставляя выражения (7) и (8), убеждаемся, что физически реализуемыми являются функции $\theta(\omega)$, удовлетворяющие условию

$$\operatorname{tg} \frac{\theta(\omega)}{2} = h_1 \Omega \prod_{i=1}^n (\Omega_i^2 - \Omega^2)^{(-1)^i}, \quad (14)$$

в котором

$$\Omega_i^2 < \Omega_{i+1}^2, \quad (15)$$

$$h_1 = \frac{h}{2k - 1}, \quad (16)$$

а число n представляет собой количество нулей и полюсов реактансной функции (8) без учета нуля в начале координат.

Большое разнообразие синтезируемых функций $\theta(\omega)$ обеспечивается широкими возможностями выбора множества чисел Ω_i . Математический анализ представления функций дробно-рациональным выражением (14) выходит за рамки настоящей статьи, однако некоторые простые частные случаи здесь будут рассмотрены.

Если в выражении (14) при нечетном n частоты нулей и полюсов выбрать в виде

$$\Omega_{2i} = \sin \frac{2i}{n} \cdot \frac{\pi}{2}, \quad \Omega_{2i-1} = \sin \frac{2i-1}{n+1} \cdot \frac{\pi}{2}, \quad (17)$$

а число h_1 — удовлетворяющим условию

$$h_1 \prod_{i=1}^n (\Omega_i^2)^{(-1)^i} = n, \quad (18)$$

то в соответствии с формулой (1.391) справочника [5] получаем

$$\operatorname{tg} \frac{\theta(\omega)}{2} = \frac{\sin [n \arcsin \Omega]}{\cos [(n+1) \arcsin \Omega]}. \quad (19)$$

Если же в (14) при четном n частоты нулей и полюсов выбрать в виде

$$\Omega_{2i} = \sin \frac{2i}{n+1} \cdot \frac{\pi}{2}, \quad \Omega_{2i-1} = \sin \frac{2i-1}{n} \cdot \frac{\pi}{2}, \quad (20)$$

а число h_1 — удовлетворяющим условию

$$h_1 \prod_{i=1}^n (\Omega_i^2)^{(-1)^i} = n+1, \quad (21)$$

то находим

$$\operatorname{tg} \frac{\theta(\omega)}{2} = \frac{\sin [(n+1) \arcsin \Omega]}{\cos [n \arcsin \Omega]}. \quad (22)$$

Как видим, на отдельных участках внутри рассматриваемого интервала $\omega_1 \div \omega_2$ выбором различных значений числа n можно получить большое разнообразие функций $\theta(\omega)$. Наипростейшим является частный случай $n=0$, когда $h_1=1$ и из (22) следует

$$\operatorname{tg} \frac{\theta(\omega)}{2} = \Omega(\omega). \quad (23)$$

Подстановка сюда (12) приводит к результату

$$\theta(\omega) = 2T(\omega - \omega_0). \quad (24)$$

Линейность функции $\theta(\omega)$ говорит о неискаженном отражении и, естественно, представляет прикладной интерес.

Функция $\varphi(\omega)$, определяющая элементы лестничной структуры I, в соответствии с (7) и (13) равна

$$\varphi(\omega) = (2k-1) \operatorname{tg} \omega T. \quad (25)$$

Вводя в (25) $p = j\omega$ и подставляя $j\varphi$ в формулы, определяющие элементы структуры I, получаем

$$Z_{2i-1} = \frac{1}{G_0} \frac{4i-3}{2k-1} \cdot \frac{1}{\operatorname{th} pT}, \quad (26)$$

$$Y_{2i} = G_0 \frac{4i-1}{2k-1} \cdot \frac{1}{\operatorname{th} pT}.$$

Если $\gamma = j\alpha$ — постоянная распространения волны в линии без потерь, $v = \omega/\alpha$ — скорость движения волны по линии и $l = vT$ — ее длина, то, как известно,

$$pT = \gamma l \quad (27)$$

и вместо (26) можно записать

$$Z_{2i-1} = \frac{4i-3}{2k-1} \cdot \frac{R_0}{\operatorname{th} \gamma l}, \quad (28)$$

$$Y_{2i} = \frac{4i-1}{2k-1} \cdot \frac{G_0}{\operatorname{th} \gamma l}.$$

Как видим, сопротивления Z — это разомкнутые, а проводимости Y — короткозамкнутые отрезки линий, отличающиеся друг от друга только волновыми сопротивлениями.

Таким образом, для синтеза цепи с фазой отражения (24) требуется k отрезков линий одинаковой длины, но различающихся волновыми сопротивлениями. В общем случае (14) каждое Z и Y цепи I будут представлять собой стержневые конструкции (последовательные соединения нескольких отрезков линий разных сопротивлений). Все k таких стержней будут отличаться друг от друга.

Техническая реализация фильтра связана еще и с решением вопроса о пространственном расположении стержней Z и Y . Без разнесения в пространстве узлов цепи конструкция может оказаться неосуществимой. Пространственное разнесение узлов можно обеспечить включением в цепь идеальных разделительных трансформаторов. Известно множество вариантов конструкций трансформаторов СВЧ диапазона (см., например, [4] и [6]). Все они имеют отдельные входы и выходы и с успехом могут применяться для указанной цели. В общем случае разделение узлов трансформаторами будет приводить к изменениям волновых сопротивлений элементов Z и Y цепи. В некоторых случаях определенным подбором коэффициентов трансформации можно все элементы Z и все элементы Y сделать одинаковыми, что обеспечит существенный технический выигрыш.

Для иллюстрации возможности синтеза продолжим рассмотрение выбранного простейшего примера (24), элементы цепи I которого определяются формулами (28). В обозначениях работы [4] эти элементы представляются в виде

$$Z_{2i-1} = \frac{1}{j\omega C_{2i-1}}, \quad C_{2i-1} = \frac{2k-1}{(4i-3)R_0}, \quad (29)$$

$$Y_{2i} = \frac{1}{j\omega L_{2i}}, \quad L_{2i} = \frac{(2k-1)R_0}{4i-1}$$

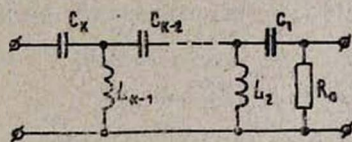


Рис. 2.

а цепь I — в виде, показанном на рис. 2.

Поскольку R_0 представляет собой волновое сопротивление нагружающей цепи линии, из нее можно выделить единичный элемент (ЕЭ) длиной l и последовательно перенести его через элементы структуры ко входу цепи. Перенос единичного элемента из правой стороны элемента цепи в левую сторону позволяет использовать тождества Куроды (см. [4] и рис. 3).

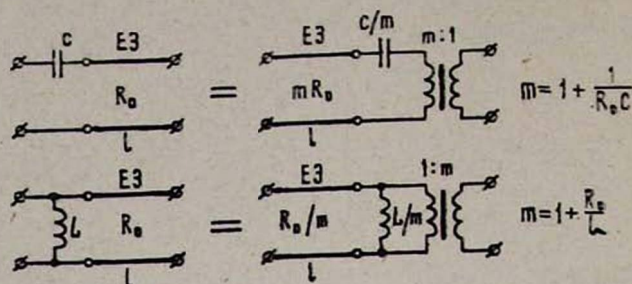


Рис. 3.

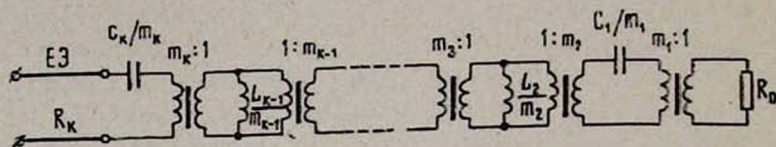


Рис. 4.

В результате преобразования получается цепь, показанная на рис. 4, где волновое сопротивление отрезка линии на входе и коэффициенты трансформации выражаются формулами

$$R_k = R_0 \prod_{l=1}^k m_l^{(-1)^{l+1}}, \quad (30)$$

$$m_{2l-1} = 1 + \frac{1}{R_{2l-2} C_{2l-1}}, \quad m_{2l} = 1 + \frac{R_{2l-1}}{L_{2l}}. \quad (31)$$

Входящие в (31) значения R_{2l-1} и R_{2l-2} рассчитываются согласно (30). Цепи аналогичной структуры могут быть получены и в общем случае синтеза при использовании условия (14).

Синтез СВЧ фильтров по предлагаемой методике гарантирует их техническую реализацию при любых заданных значениях фазовых характеристик $\theta(\omega)$ типа (14) и с любой желаемой точностью, оцениваемой согласно (3) и (7). Наличие двух нагрузок на концах фильтров делает их удобными для использования во многих технических устройствах.

Ереванский политехнический
институт

Поступила 26.XII.1977

ЛИТЕРАТУРА

1. Г. Э. Бурнусузян, А. А. Лангин. Сб. Исследования в области электросвязи и теории цепей, Изд. Зинатне, Рига, 1977.
2. Г. Э. Бурнусузян, А. А. Лангин. Сб. Исследования в области электросвязи и теории цепей, Изд. Зинатне, Рига, 1977.
3. А. А. Лангин. Сб. Расчет электрических фильтров, Изд. Зинатне, Рига, 1974.
4. Фильтры и цепи СВЧ, перевод с англ., Изд. Связь, М., 1976.
5. И. С. Градштейн, И. М. Рыжик. Таблицы интегралов, сумм, рядов и произведений, Физматгиз, М., 1962.

6. Конструирование и расчет полосковых устройств, под ред. И. С. Ковалева, Изд. Советское радио, М., 1974.

ՏՐՎԱԾ ՖԱԶԱՅԻՆ ԲՆՈՒԹԱԳՐՈՎ ԳԵՐԲԱՐՁՐԸԱՃԱԽԱՅԻՆ ՇՂԹԱՆԵՐ

Գ. Է. ԲՈՒՐՈՒՆՍՈՒԶՅԱՆ

Առաջարկվում է որոշակի ֆազա-հաճախային բնութագրերով օժտված գերբարձրհաճախային շղթաների սինթեզման եղանակ, որի հիմքում ընկած է Դրինբերգի փակագծերի մաթեմատիկական ապարատը:

MICROWAVE CIRCUITS WITH GIVEN PHASE CHARACTERISTICS

G. E. BURUNSUZYAN

The technique of microwave circuits synthesis having given phase frequency characteristics based on the mathematics of Grinberg brackets is proposed.